

تحلیل عینی پدیده «مکان‌یابی کرنش»

هomen نسیری (دکتری)
احمد فهیمی‌فر (دانشیار)
سید عبدالعلیم امیرشاکری (استادیار)
دانشکده مهندسی عمران و محیط زیست، دانشگاه صنعتی امیرکبیر

در این نوشتار ابتدا مفهوم فلسفی عینیت در تحلیل‌ها و بررسی‌های علمی بیان می‌شود. سپس مصاداق آن در تحلیل خزایی، و بهویژه تحلیل‌های «کرنش مکان‌یابی شده» معرفی می‌شود. در قدم بعدی مهم‌ترین راه حل عملی عینی‌سازی تحلیل یعنی به کارگیری مقادیر غیر محلی متغیرها مورد بحث قرار خواهد گرفت. سپس ایده‌ی رایج تحلیل عینی بر پایه‌ی مدول سکانت معرفی می‌شود و نهایتاً برای تحلیل عینی بر بنیاد مدول مماسی معرفی شده و در کنار ایده‌ی رایج تحلیل براساس مدول سکانت مسئله‌ی به دو روش تحلیل خواهد شد.

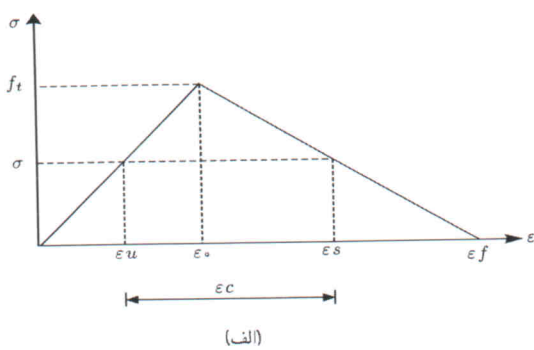
مقدمه

پدیده نیز تحلیل را به چگونگی تقسیم محیط در روش اجزاء محدود وابسته می‌کند، بدین معنی که پاسخ به دست آمده، به اندازه‌ی المان‌های در نظر گرفته شده بستگی خواهد داشت. این وابستگی پدیده‌ی آمده (حساسیت پاسخ نسبت به مشبندی در روش اجزاء محدود) ناشی از طبیعت رفتار نرم‌شونده‌ی ماده است: در تحلیل‌هایی که وارد حوزه‌ی نرم‌شوندگی می‌شوند، پدیده‌ی تقسیم محیط به دو بخش با رفتارهای متفاوت (بخشی که کرنش آن رو به افزایش است و بارگذاری می‌شود و بخشی که در آن باربرداری به‌وقوع می‌پیوندد) اتفاق می‌افتد. این پدیده مبنی بر فرضیات برگرفته از واقعیات موجود (مانند پارامترهای قابل داده‌اند).^[۱]

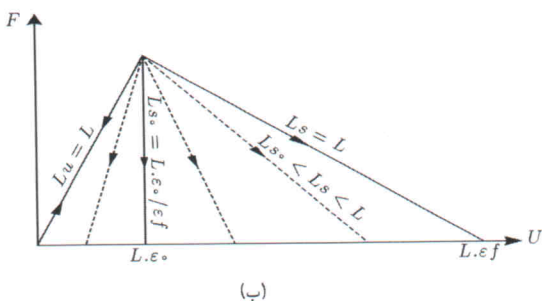
در این نوشتار ابتدا مصادق فقدان عینیت در تحلیل‌های «کرنش مکان‌یابی شده» معرفی می‌شود و سپس راه حل‌های موجود برای مقابله با فقدان عینیت تحلیل معرفی و مورد بحث قرار خواهد گرفت. در بدین معنی که نتایج آن کاملاً با آنچه در واقع اتفاق می‌افتد تطابق ندارد. نظریه پردازی فرایندی ذهنی است که برای تجزیه و تحلیل عالم واقع شکل می‌گیرد. اما دلایل گوناگونی باعث ناموفق بودن یک نظریه در توجیه دقیق و کامل یک پدیده می‌شود، و از این رو است که نظریه‌ها همواره در حال اصلاح و بهبودند. در زمینه‌ی مهندسی نیز همین روند به چشم می‌خورد. همواره در تاریخ مهندسی مدرن شماری از پژوهشگران به کار اصلاح و بهبود نظریه‌های موجود، یا تدوین نظریه‌های جدید پرداخته‌اند. موضوعی که در این نوشتار بدان پرداخته می‌شود، «عینیت» در تحلیل مواد نرم شونده است. در تمامی مسائلی که سروکارشان با چنین موادی است، پدیده‌ی مکان‌یابی کرنش به‌وقوع می‌پیوندد. این پدیده در بخش بعدی همین نوشتار با اختصار توضیح داده شده است.

بروز رفتار نرم شوندگی، پدیده‌ی مکان‌یابی کرنش را به همراه دارد. این عینیت در مسائل مکان‌یابی کرنش

در این نوشتار معرفی مفاهیم و آسیب‌شناسی فقدان عینیت تحلیل در مسائل کرنش مکان‌یابی شده، با طرح یک مسئله‌ی تحلیلی یک‌بعدی انجام خواهد شد. روش‌شناسی به کار گرفته شده در مسائل پیچیده‌تر نیز قابل تعمیم خواهد بود. مسئله‌ی یک‌بعدی می‌تواند کشش یک المان میله‌یی با سطح مقطع ثابت، یا یک صفحه‌یی تحت برش خالص باشد. در این نوشتار مسئله‌ی المان میله‌یی تحت کشش مورد بررسی

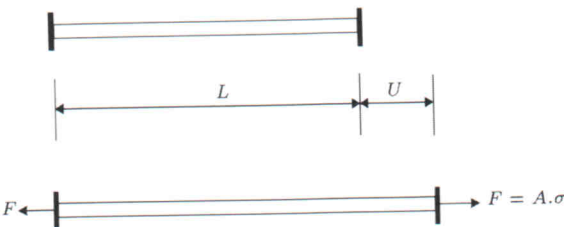


(الف)



(ب)

شکل ۲. (الف) منحنی رفتاری مصالح میله؛ (ب) رفتارهای پس از عبور از ϵ_u . قابل تصور در منحنی بار - تغییر مکان.



شکل ۱. میله‌ی تحت بارگذاری کششی تکمحوری.

قرار می‌گیرد. بارگذاری میله به شکل اعمال تغییر مکان (ازدیاد طول) فرض می‌شود.

فرض می‌شود طول اولیه‌ی میله برابر L . سطح مقطع میله برابر A . مقاومت کششی مصالح برابر f_t و مدول الاستیسیته برابر E باشد. مفروضات در این مسئله از یک قانون رفتاری رفتاری ساده‌ی دوخطی پیروی می‌کند. تا قبل از رسیدن به مقاومت حداکثر، مصالح رفتار کشسانی خطی دارند، و درست پس از رسیدن به نقطه‌ی مقاومت حداکثر رفتار مصالح به نرم شدگی خطی^۲ تبدیل خواهد شد. کرنش در نقطه‌ی انتهایی بخش کشسان خطی (کرنش حد کشسان) را با $\epsilon_t = f_t/E$ نمایش می‌دهیم. میله‌ی مورد بحث در یک انتهای ثابت است و در انتهای دیگر با اعمال تغییر مکان کششی بارگذاری می‌شود.

رفتار میله تا رسیدن تغییر طولش به حد $\epsilon_u = L\cdot\epsilon_0$ کشسان خطی باقی می‌ماند. به همین ترتیب، بیشترین نیرویی که میله تحمل خواهد کرد (حد کشسانی) برابر $F_u = A\cdot f_t$ است. از این نقطه به بعد پدیده‌ی نرم شوندگی میله شروع می‌شود. بدین ترتیب که در صورت ادامه‌ی بارگذاری، یعنی زمانی که میزان تغییر شکل از ϵ_u فراتر می‌رود، بخش کوچکی از میله رفتار نرم شونده از خود نشان می‌دهد و روی خط نرم شونده‌ی منحنی رفتاری تش - کرنش حرکت خواهد کرد در صورتی که در بقیه‌ی میله باربرداری اتفاق می‌افتد، بدین معنی که بخش کوچکی از میله از این پس تغییر رفتار (جنس) داده و رفتار آن با نرم شوندگی خطی تعریف می‌شود، در حالی که بقیه میله همچنان رفتار کشسان خطی خواهد داشت.^[۲] در این وضعیت مشاهده می‌شود که کرنش‌های بزرگ ناشی از رفتار نرم شوندگی ماده، در ناحیه‌ی کوچکی از میله جای‌گیر می‌شوند و به همین دلیل این پدیده را مکانیابی کرنش (Strain Localization) می‌نامند. فرض کنیم طول ناحیه‌ی کرنش‌های زیاد (بخشی از میله که رفتار نرم شونده دارد)، برابر L_s و طول ناحیه‌ی باربرداری (بقیه‌ی طول میله، یعنی بخشی که رفتار کشسانی خطی داشته و باربرداری می‌شود) برابر L_u باشد، همچنین کرنش در ناحیه‌های دارای کرنش‌های زیاد را برابر ϵ_s و کرنش ناحیه‌ی باربرداری را برابر ϵ_u فرض می‌کنیم (شکل ۲(الف)). بنابراین تغییر طول سراسری میله هنگامی که تغییر شکل از حد کشسان فراتر رود عبارت خواهد بود از: $L_s\cdot\epsilon_s + L_u\cdot\epsilon_u = L\cdot\epsilon_u + u$.

ناحیه‌ی کرنش‌های زیاد (L_s) یکی از فرض‌های اساسی مسئله است. در لحظه‌یی که به حد کشسانی میله می‌رسیم، تغییر طول میله برابر است با: $u = L\cdot\epsilon_0$. با فراتر رفتن از حد کشسانی، تغییر مکان‌یابی بزرگ‌تر خواهد بود. برای آنکه تغییر مکان تحلیلی با تغییر مکان اندازه‌گیری شده اختلاف فاحشی نداشته باشد باید از اندازه‌ی طول ناحیه‌ی کرنش‌های بزرگ تخمینی واقعی (عینی) داشته باشیم. به راحتی مشاهده می‌شود در یک سطح تنفس مشخص ($\sigma \leq f_t$) پس از عبور از حد کشسانی، $(U \geq L\cdot\epsilon_0)$ اگر فرض کنیم کرنش‌های زیاد در سراسر طول میله اتفاق بیفتد، تغییر طول میله برابر خواهد شد با: $u = L\cdot\epsilon_s$. با فرض این که کرنش‌های زیاد در طولی بی‌نهایت کوچک مکانیابی شوند، یا به عبارتی چنانچه $L_s = L$ ، تغییر طول میله، عبارت خواهد بود از: $u = L\cdot\epsilon_u$: و این بدان معنی است که روی بخش کشسان منحنی رفتاری، باربرداری صورت گرفته است (شکل ۲(ب)). چنان که دیده می‌شود، بسته به اینکه مقدار L_s چقدر فرض شده باشد، پاسخ‌های به دست آمده از تحلیل مقادیر به شدت متفاوت خواهد بود. بنابراین توافق جواب تحلیلی با مقدار اندازه‌گیری شده، کاملاً بستگی به فرض مسئله، یعنی L_s دارد و این بدان معناست که تحلیل، به نحوه‌ی تقسیم محیط حساس است. همین امر، تحلیل مسئله‌ی مکانیابی کرنش را ذاتاً غیرعینی می‌کند. اما امروزه می‌دانیم که مقدار L_s یکی از مشخصه‌های ذاتی مواد است. در مکانیک شکست، این طول را طول مشخصه‌ی^۳ ماده می‌نامند، که

طریق انتگرال‌گیری است. میدان تعريف شده زیر را در نظر بگیرید:

$$\bar{f}(x) = \int_V \alpha(x, \xi) \cdot f(\xi) d\xi \quad (1)$$

این یک میدان غیر محلی است که بر پایه‌ی میدان محلی $f(x)$ ساخته شده است. $\alpha(x, \xi)$ یک تابع وزن غیر محلی است. مقدار این تابع تنها به فاصله‌ی نقاط مرکز و پیرامونی که با مختصات x و ξ نمایندگی می‌شوند بستگی دارد. انتگرال‌گیری بر روی دامنه V انجام می‌شود که تابع α است به مرکزیت نقطه‌ی مرکزی x . دامنه انتگرال‌گیری (V) در مسئله‌ی یک بعدی ممکن است پاره خطی به مرکز x و با طولی برابر طول مشخصه‌ی ماده باشد و یا در مسئله‌ی دو بعدی، دایره‌ی به مرکزیت x و به قطر برابر طول مشخصه باشد.

بنابراین چنان که دیده می‌شود، در غیر محلی سازی انتگرالی دو عامل تعیین‌کننده وجود دارد: یکی دامنه انتگرال V و دیگری تابع وزن α . دامنه انتگرال به‌گونه‌ی انتخاب می‌شود که نقطه‌ی مرتع x در مرکز آن قرار گیرد. مثلاً در محیط دو بعدی، V دایره‌ی به مرکز x و در محیط یک بعدی پاره خطی است که نقطه‌ی وسط آن x است. میدان غیر محلی ساخته شده براساس میدان محلی یکنواخت منطقاً باید بر میدان یکنواخت منطبق باشد، بنابراین تابع وزن انتگرال‌گیری باید دارای مساحت واحد باشد. لذا می‌توان چنین شکلی برای آن متصرور بود:

$$\alpha(x, \xi) = \frac{\alpha_0 (|x - \xi|)}{\int_V \alpha_0 (|x - \zeta|) d\zeta} \quad (2)$$

بدین منظور تابع گوناگونی را می‌توانیم تشکیل دهیم. مثلاً در مسئله‌ی یک بعدی با دامنه انتگرال‌گیری a تابع وزن را می‌توان طبق روابط زیر تعريف کرد:

(۳) تابع یکنواخت:

$$\alpha(x, \xi) = \frac{1}{2a} \xi \epsilon(x - a, x + a) \quad \text{و}$$

(۴) تابع خطی:

$$\alpha(x, \xi) = -\frac{1}{a^2} |\xi - x| + \frac{1}{a} \quad \xi \in (x - a, x + a) \quad \text{و}$$

(۵) تابع گاوسی:

$$\alpha(r) = \frac{\sqrt{2}}{l \cdot \sqrt{\pi}} \exp\left(-\frac{r^2}{2l^2}\right) \quad \text{و}$$

$$l = a \quad r = |\xi - x|$$

(۶) تابع زنگوله‌ی:

$$\alpha(r) = \frac{15}{8R} \cdot \left(1 - \frac{r^2}{R^2}\right)^2 \quad 0 \leq r \leq R \quad \text{و}$$

نشان دهنده‌ی پهناهی نوار ترک است و روش‌های نیز برای اندازه‌گیری آن وجود دارد.^[۲]

در مسئله یک بعدی، نظیر مسئله‌ی که بررسی می‌شود، دست‌یابی به پاسخ عینی، با دانستن مقدار طول مشخصه بسیار ساده است. اما در مسائل دو بعدی و سه بعدی، که خط ترک شکل مشخص و از قبل تعیین شده‌ی ندارد، وارد کردن طول مشخصه‌ی ماده در فرضیات تحلیل به این سادگی نیست. باید شیوه‌ی اتخاذ کرد که مستقل از نحوه تقسیم محیط (مشبندی در روش اجزاء محدود)، طول مشخصه‌ی ماده در تحلیل منظور شده و پاسخ عینی به دست آید.

مرتب کردن دنباله‌ی نرم شونده

باید راهی بیاییم تا دنباله‌ی نرم شونده‌ی منحنی بار - تغییر مکان از آشفتگی رهایی باید و از بین بی‌نهایت حالت ممکن تنها یک حالت نزدیک به واقعیت موجود به دست آید. به عبارت دیگر باید شیوه‌ی اتخاذ کنیم تا براساس آن بتوانیم به یک تحلیل منظم و دارای یک جواب واحد، مستقل از فرض تقسیم، دست بیاییم. بنابراین و برای هر چه نزدیک‌تر کردن نتیجه‌ی تحلیل به آنچه در عالم واقع رخ می‌دهد و پیش روی ماست باید تمهداتی اندیشید تا تحلیل از آشفتگی رهایی باید و به پاسخی هرچه عینی‌تر منجر شود.

میدان‌های غیر محلی^[۳]

ایده‌ی میدان‌های غیر محلی در تاریخ ریاضیات به زمان‌های بسیار دور باز می‌گردد. اما از زمانی که دانشمندان عرصه‌ی مکانیک مواد با پدیده‌ی مکانیکی کرنش و عارضه‌ی همزاد آن - غیر عینی شدن تحلیل - آشنا شدند، به کارگیری این مفهوم در تحلیل‌های مهندسی کم و بیش مورد توجه واقع شده است. شاید بتوان از ارینگن به عنوان نخستین کسی که ایده‌ی میدان‌های غیر محلی را در تحلیل محیط‌های پیوسته به کار گرفت، نام برد.^[۴] البته ارینگن رفتار میکروسکوپی محیط‌های پیوسته را مدنظر قرار داده بود و مطالعاتش جنبه‌ی مهندسی نداشت. بعد از بازانت آسیب‌شناسی پدیده‌ی مکانیکی کرنش را به دقت مورد بررسی قرار داد و به لزوم یافتن شیوه‌های عددی خاص برای رسیدن به پاسخ یکتا در مسئله‌ی مکانیکی کرنش دست یافت.^[۵]

یک میدان محلی را در دامنه D ، به سادگی می‌توان به صورت تابع $y = f(x)$ تعريف کرد، به طوری که مقدار y در هر نقطه فقط به مقدار x در همان نقطه بستگی داشته باشد. در این صورت $f(x)$ یک میدان محلی است به این مفهوم که مقدار y در هر محل (نقطه) تنها به موقعیت مکانی (مقدار) x بستگی دارد.

به شیوه‌های مختلف می‌توانیم یک میدان غیر محلی را بر پایه‌ی میدان محلی تعريف شده، ایجاد کنیم. یکی از این شیوه‌ها غیر محلی سازی از

($\varepsilon^e + \varepsilon^i = \varepsilon$)، می‌توان در تشکیل میدان‌های غیر محلی از بردار کرنش غیرکشسان کمک گرفت. در این صورت، نتایج تحلیل محلی و غیر محلی در تحلیل کشسان که اساساً بردار کرنش غیرکشسان در آن جایی ندارد ($\varepsilon^i = 0$)، بر هم منطبق خواهد بود. به همین ترتیب پژوهش‌گران بسیاری برای طراحی یک روش تحلیل عینی از بردار کرنش غیرکشسان استفاده کرده‌اند.

در مورد بسیاری از میدان‌ها، نظری میدان تنش، چنین تفکیکی به راحتی امکان‌پذیر نیست و لذا برای این منظور مورد استقبال قرار نگرفته‌اند. به هر روی، تاکنون برای دست‌یابی به روش‌های بسیاری که همگی بر پایه‌ی میدان غیر محلی کرنش بنا شده‌اند، در راستای دست‌یابی به یک تحلیل عینی تلاش شده است. تمامی این روش‌ها مبتنی بر تشکیل ماتریس سختی بر پایه‌ی میدان غیر محلی کرنش، یا محتوای انرژی کشسان‌اند.

در اینجا لازم است تذکر داده شود که تحلیل بر مبنای ماتریس سختی تشکیل شده بر پایه‌ی میدان غیر محلی کرنش، با مستله‌ی عنوان شده در مورد میدان غیر محلی کرنش روبرو نیست: چنین تحلیلی در تحلیل کشسان، پاسخ‌های یکسانی در دو حالت تحلیل محلی و غیر محلی به دست می‌دهد.^[۷] می‌دانیم که در تحلیل‌های غیرکشسان و غیر خطی ماتریس سختی یک المان و یا با دید جزیی‌تر میزان سختی در یک نقطه انتگرال‌گیری به میزان کرنش در آن نقطه و در مرحله‌ی مشخصی از بارگذاری بستگی دارد. بنابراین چنانچه میدان غیر محلی کرنش را مبنای محاسبه و تشکیل ماتریس سختی در نواحی دارای رفتار غیرکشسان یا غیر خطی قرار دهیم، ماتریس سختی به دست آمده با ماتریس سختی محاسبه شده بر مبنای میدان محلی کرنش در بخش‌هایی که میزان کرنش (میدان کرنش غیر محلی) نشان دهنده رفتار غیرکشسان یا غیر خطی است متفاوت خواهد بود.

برای مثال چهار نمونه از تشکیل ماتریس سختی غیر محلی عبارت اند از:

$$\bar{K} = K(\bar{\varepsilon}) \quad (7)$$

$$\bar{K} = \overline{K(\varepsilon)} \quad (8)$$

$$\bar{K} = K(\bar{Y}) \quad (9)$$

$$\bar{K} = \overline{K(Y)} \quad (10)$$

رابطه‌ی ۷ به این معنی است که ابتدا میدان غیر محلی کرنش (ε^e) محاسبه شده و سپس ماتریس سختی بر آن اساس به دست آمده است. رابطه‌ی ۸ نشان می‌دهد که ابتدا میزان سختی در هر نقطه بر اساس میدان محلی کرنش محاسبه شده و سپس با انتگرال‌گیری، میدان غیر محلی سختی به دست آمده و بر آن اساس ماتریس سختی

اولین اثری که میانگین‌گیری یاد شده ممکن است داشته باشد، ماهیت اندرونی است که به مقادیر این میدان در هر نقطه از محیط (x) می‌بخشد. برای درک این مفهوم فرض کنید میدان محلی ($f(x)$) میدان کرنش در یک تحلیل غیرکشسان مکانیک شکست باشد. در این صورت قابل تصور است که مقادیر این میدان در یک نقطه بیان‌گر ایجاد ترک در آن نقطه از محیط است، در حالی که مقادیر این میدان در نقاط مجاور نقطه‌ی یاد شده فقط بیان‌گر کرنش کشسان محیط است. حال چنانچه بر پایه‌ی این میدان محلی یک میدان غیر محلی تشکیل دهیم، در نقاط مجاور ترک تأثیر کرنش‌های غیرکشسان ناشی از ترک نیز دیده می‌شود، به عبارت بهتر مرز مشخص بین ناحیه‌ی ترکدار و ناحیه‌ی بدون ترک از بین می‌رود. چنین میدانی سازگاری بیشتری با واقعیت دارد. دیگر این که میدان غیر محلی یک میدان نرم است و چنانچه در میدان محلی تغییرات ناگهانی مقادیر وجود داشته باشد، در میدان غیر محلی شکل گرفته بر پایه‌ی آن چنین تغییراتی دیده نمی‌شود.

یکی دیگر از اثرات غیر محلی سازی به شیوه‌ی انتگرال‌گیری یاد شده این است که اثر پدیده‌های محدود و موضعی را بسط می‌دهد. به عنوان مثال چنانچه در یک مستله‌ی مکان‌یابی کرنش، کرنش‌های بزرگ ناشی از خرابی، ترک و یا خمیری شدن در محدوده‌ی بسیار کوچک‌تر از طول مشخصه‌ی L متمرکز شوند، با تشکیل میدان غیر محلی توسط انتگرال‌گیری با دامنه‌ی انتگرال برابر L اثر کرنش‌های بزرگ در محدوده‌ی به اندازه‌ی طول مشخصه L گستردگی شود. شاید این مهم‌ترین خاصیتی باشد که ما را به کاربرد شیوه‌ی غیر محلی سازی ترغیب می‌کند.

اما به راستی کدام متغیر برای تشکیل میدان غیر محلی مناسب‌تر است؟ تنش، کرنش یا متغیر دیگر؟ از دیدگاه پدیدارشناسی انتخاب متغیر مناسب باید دو شرط اساسی را تأمین کند: نخست، در محدوده‌ی تحلیل کشسان باید نتیجه‌ی تحلیل محلی کاملاً منطبق بر تحلیل غیر محلی باشد. به عبارت دیگر غیر محلی سازی نباید نتیجه‌ی تحلیل کشسان را مخدوش کند. دیگر این که تحلیل غیر محلی باید موجب دست‌یابی به بازتاب واقعی (عینی) شود بدان معنی که رفتار نرم شونده‌ی سازه (شکل ۲ ب) به شاخه درست (منطبق بر نتیجه‌ی به دست آمده در عمل) همگرا شود.

آشکارا دیده می‌شود که میدان کرنش برای غیر محلی سازی مناسب نیست زیرا عموماً شرط اول را برآورده نمی‌کند. فقط هنگامی که میدان کرنش میدانی یکنواخت باشد، غیر محلی سازی در مستله‌ی کشسان میدانی منطبق بر میدان محلی را ارائه می‌دهد.^[۷] اما از آنجا که بردار کرنش قابل تدقیک به دو بردار کرنش کشسان (ε^e) و کرنش غیرکشسان، یا در زمینه‌ی مکانیک شکست کرنش ناشی از ایجاد ترک (ε^i) است:

که در آن D^e ماتریس رفتارکشسان ماده است. پارامتر خرابی آشکارا به میزان کرنش بستگی دارد، ولی از آنجا که کرنش ماهیت برداری دارد و پارامتر خرابی اسکالار است بسیاری ترجیح داده‌اند آن را بر حسب نزخ آزادشدن انرژی شکست بیان کنند. نزخ آزاد شدن انرژی شکست در هر نقطه بر حسب بردار کرنش در آن نقطه مطابق رابطه‌ی 12 بیان می‌شود:

$$Y = \frac{1}{2} \varepsilon^T D^e \varepsilon \quad (12)$$

بنابراین پارامتر خرابی را می‌توان مطابق یکی از رابطه‌های 13 یا 14 ارائه داد:

$$\omega = f(\varepsilon) \quad (13)$$

$$\omega = f(Y) \quad (14)$$

پس از حل محلی مسئله می‌توانیم با تعیین مجدد پارامتر خرابی بر پایه‌ی میدان‌های غیر محلی کرنش یا محتوای انرژی کشسانی، ماتریس سختی را دوباره تشکیل دهیم و با حل مجدد مسئله به پاسخ‌های عینی دست یابیم:

$$\bar{\omega} = f(\bar{\varepsilon}) \quad (15)$$

$$\bar{\omega} = f(\bar{Y}) \quad (16)$$

$$\bar{K} = \sum (1 - \bar{\omega}) B^T D^e B \cdot m \quad (17)$$

حال با یک مثال به توضیح مسئله می‌پردازیم: میله‌ی را در نظر بگیرید که در یک انتهای جلوی حرکت آن گرفته شده است و در انتهای دیگر بارگذاری کششی می‌شود. میله به سه المان مساوی هر یک به طول واحد تقسیم شده است و مساحت مقطع آن نیز برابر واحد است. مسئله سه درجه آزادی دارد و در هر المان یک نقطه انتگرال‌گیری وجود دارد (شکل 4).

رفتار ماده‌ی تشکیل‌دهنده میله نیز یک رفتار کشسان خطی - نرم شوندگی خطی است (شکل 5). تا رسیدن به وضعیت تعريف شده‌ی ذیل، رفتار میله (منحنی U - P) به صورت کشسان خطی است:

$$\varepsilon_1 = \varepsilon_2 = 1^\circ \quad \sigma = 2^\circ \quad P = 2^\circ \quad U = 3^\circ$$

از آن پس داریم:

$$\omega = \frac{1^\circ}{9} \cdot \frac{\varepsilon - 1}{\varepsilon} = \frac{1^\circ}{9} \cdot \frac{\sqrt{Y} - 1}{\sqrt{Y}} \quad (18)$$

فرض کنیم طول مشخصه‌ی میله برابر $1/5$ باشد (یعنی $L_s = 1/5$). در این صورت چنانچه مقدارتابع محلی f در المان‌های اول و سوم برابر f_1 و در المان دوم برابر f_2 باشد، با انتگرال‌گیری با تابع وزن انتگرال‌گیری یکنواخت $\omega = 1/5 = 2a$ مقادیر غیر محلی این تابع در

محاسبه شده است. رابطه‌های 9 و 10 نیز مانند رابطه‌های 7 و 8 تعبیر می‌شوند با این تفاوت که در آنها به جای «کرنش»، از «نزخ آزاد شدن انرژی شکست» (Y) استفاده شده است. همان‌طور در چهار رابطه‌ی بالا به عنوان نمونه نشان داده شده است، به شیوه‌های گوناگونی می‌توانیم مقادیر درایه‌های تشکیل‌دهنده ماتریس سختی را غیر محلی کنیم.

هر شیوه‌ی دارای مزایا و معایبی است. ممکن است یک فرمول‌بندی خاص به یک حل عددی پایدار و یا سازگار منجر نشود. همچنین ممکن است یک روش خاص از سرعت همگرایی بیشتری برخوردار باشد، یا در مواردی اصلاً همگرا نشود. لذا استفاده از یک ایده برای غیر محلی‌سازی ماتریس سختی باید از پیشوانه‌ی نظری مناسبی برخوردار باشد.

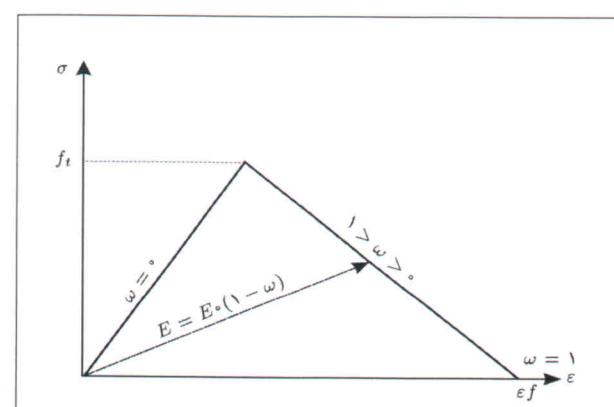
ماتریس سختی سکانت

به طور کلی می‌توان گفت تاکنون فقط نظریه‌ی به کارگیری مدول سکانت در مسائل نرم شونده مورد توجه واقع شده است. شاید مهم‌ترین علت این امر تغییر علامت مدول تائزات باشد که باعث ایجاد نقاط منفرد در فرایند حل عددی مسئله می‌شود.

در اینجا مدل خرابی ایزوتروپ اسکالار «مازاس» را مورد بررسی قرار می‌دهیم. مازاس مجموعه‌یی از مدل‌های خرابی را فرمول‌بندی کرد.^[۶] این مدل‌ها مبتنی بر کاهش تدریجی مدول سکانت هیئت نرم شدن هستند. پارامتر خرابی ω نقش محوری را در مدل مازاس بازی می‌کند. مقدار ω در قسمت کشسان و ترک نخورده ماده برابر صفر است. به تدریج همراه با توسعه‌ی خرابی ω افزایش می‌یابد تا این‌که در نقطه‌ی خرابی کامل به مقدار یک می‌رسد.

بنابراین ماتریس سختی در مدل مازاس چنین خواهد بود:

$$K = \sum (1 - \omega) B^T D^e B \cdot m \quad (11)$$



شکل ۳. پارامتر خرابی مازاس.

به همین ترتیب حل غیرمحلى به نتایج زیر منجر می‌شود:

$$U = 9^\circ, P = 1/12, \varepsilon_1 = 0/95, \varepsilon_2 = 7/09$$

$$U = 12^\circ, P = 0/50, \varepsilon_1 = 0/52, \varepsilon_2 = 10/96$$

$$U = 15^\circ, P = 0/0, \varepsilon_1 = -0/269, \varepsilon_2 = 15/537$$

از آنجاکه طول مشخصه‌ی ماده (L_s یا L_a) برابر $1/5$ است، در عمل (اندازه‌گیری آزمایش کششی میله، آنچه در واقع اتفاق می‌افتد) و در انتهای بارگذاری ($P=0$) به دست می‌آید:

$$U = L_s \cdot \varepsilon_f = 1/5 \times 10 = 15$$

ماتریس سختی مماسی (تانزانت)

تلاش برای حل مسائل مکانیابی کرنش از طریق مدول مماسی چندی است که به طور نه چندان جدی آغاز شده است.^[۱۱] اما تاکنون به فرایند حل عددی این شیوه پرداخته نشده است. در اینجا، روشی را برای حل مسئله‌ی مکانیابی کرنش برپایه‌ی مدول مماسی، با الهام از روش ابداعی مازاس ارائه خواهیم کرد. مشابه ماتریس سختی سکانت و مدل مازاس، ماتریس سختی مماسی به ترتیب زیر پیشنهاد می‌شود:

$$D^t = \beta \cdot D^e \quad (20)$$

$$K^t = \sum \beta \cdot B^T D^e B \cdot m \quad (21)$$

$$\beta = f(\varepsilon) \quad (22)$$

$$\beta = f(Y) \quad (23)$$

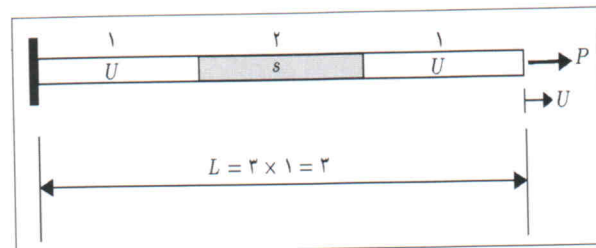
پارامتر β سختی مماسی را تعیین می‌کند. در محدوده‌ی کشسان خطی مقدار این پارامتر برابر 1 و در ناحیه‌ی غیرخطی مقداری کوچک‌تر از 1 و حتی منفی به خود می‌گیرد. در یک مسئله‌ی یکبعدی (یا در مکانیک خرابی ایزوتوپ) این پارامتر با پارامتر خرابی مدل مازاس به صورت زیر مربوط می‌شود:

$$\beta = \frac{d\sigma}{Ed\varepsilon} = (1 - \omega) - \frac{d\omega}{d\varepsilon} \cdot \varepsilon \quad (24)$$

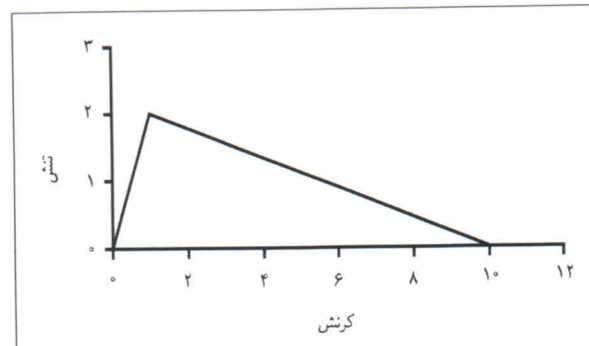
مثل‌آ در مسئله‌ی طرح شده در بالا، مقدار این پارامتر در ناحیه‌ی نرم‌شونده مطابق رابطه‌ی ۲۵ است:

$$\omega = \frac{10}{9} \cdot \frac{\varepsilon - 1}{\varepsilon} \Rightarrow \beta = -\frac{1}{9} \quad (25)$$

شیوه‌ی حل مسئله با استفاده از مدول مماسی یک راه حل پله‌یی^۵ است و بنابراین خطای محاسباتی در هر مرحله به خطای مرحله‌ی قبل افزوده می‌شود. چنین روش‌هایی به شدت نیازمند یک روش آزمون و خطای است. از طرفی هرچه میزان افزایش بار در یک مرحله بیشتر باشد



شکل ۴. مسئله‌ی مکانیابی کرنش با سه درجه آزادی ($L = 3^\circ$, $A = 1/0$, $\varepsilon_0 = 10/0$, $f_t = 2/0$, $\varepsilon_f = 1/0$).



شکل ۵. رفتار دوخطی ماده‌ی نرم شونده.

المان‌های باربرداری شونده (المان‌های اول و سوم) و المان نرم شونده (المان میانی) چنین خواهد بود:

$$\bar{f}_1 = \frac{5f_1 + f_2}{6} \quad \text{و} \quad \bar{f}_2 = \frac{f_1 + 2f_2}{3} \quad (19)$$

المان میانی بارگذاری می‌شود و المان‌های اول و سوم باربرداری می‌شوند. حل دقیق (محلی) مسئله در پنج مرحله‌ی بارگذاری بین ترتیب به دست می‌آید:

$$U = 3^\circ, P = 2/0, \varepsilon_1 = 1/0, \varepsilon_2 = 1/0$$

$$U = 6^\circ, P = 1/14, \varepsilon_1 = 0/57, \varepsilon_2 = 4/86$$

$$U = 9^\circ, P = 0/29, \varepsilon_1 = 0/143, \varepsilon_2$$

$$U = 10^\circ, P = 0/0, \varepsilon_1 = 0/0, \varepsilon_2 = 10/0$$

در مرحله‌ی اول بارگذاری داریم:

$$U = 6^\circ, \varepsilon_1 = 0/57, \varepsilon_2 = 4/86 \Rightarrow \bar{\varepsilon}_1 = 1/285,$$

$$\bar{\varepsilon}_2 = 2/43 \Rightarrow \bar{\omega}_1 = 0/246, \bar{\omega}_2 = 0/787 \Rightarrow$$

$$\bar{E}_1 = (1 - \bar{\omega}_1) E_1 = 1/508, \bar{E}_2 = (1 - \bar{\omega}_2) E_2$$

$$E_1 = 0/426 \Rightarrow \varepsilon_1 = 1/083, \varepsilon_2 = 3/834$$

$$\Rightarrow P = \bar{E}_1 \cdot \varepsilon_1 = 1/633$$

مرحله از بارگذاری به طور غیر محلی حل شود و لذا به طور مضاعف انباشتگی خطا به وجود خواهد آمد.

فرایند حل غیر محلی در این روش، مطابق رابطه‌ی ۳۲ است:

$$\begin{aligned} {}^i P^{nl}, \Delta U^{Loading}, {}^i \varepsilon^{nl} &\rightarrow {}^i \beta^l \rightarrow {}^i K_t^l \rightarrow {}^i \Delta \varepsilon^l \\ \rightarrow \varepsilon^* &= {}^i \varepsilon^{nl} + {}^i \Delta \varepsilon^l \rightarrow Y^* = \frac{1}{\gamma} \varepsilon^{*T} D^e \varepsilon^* \\ \rightarrow {}^i \beta^{nl} &\rightarrow {}^i K_t^{nl} \rightarrow {}^i \Delta \varepsilon^{nl}, {}^i \Delta \sigma^{nl} \rightarrow {}^i \Delta P^{nl} \\ \rightarrow {}^{i+1} P^{nl} &= {}^i P^{nl} + {}^i \Delta P^{nl} \end{aligned} \quad (32)$$

در روند نمای بالا، i معرف مرحله‌ی افزایش بار، l پارامتر محلی یا مقدار به دست آمده از حل محلی، nl پارامتر غیر محلی یا مقدار به دست آمده از حل غیر محلی و t نشان‌دهنده‌ی پارامتر مماسی (ماتریس سختی تشکیل شده بر پایه‌ی مدل مماسی) است. نکته‌ی باقی‌مانده چگونگی غیر محلی‌سازی پارامتر β است که دشوارترین قسمت مسئله است.

با اندکی بررسی معلوم می‌شود که مانند v ، به سادگی نمی‌توانیم به این پارامتر یک مقدار غیر محلی نسبت دهیم، به خصوص وضعیت انتخاب شده در این نوشتار یعنی خطی بودن بخش نرم‌شونده‌ی متحنی رفتاری و بنابراین ثابت بودن پارامتر β معرف موردی دشوار است. لذا برای دست‌یابی به یک شیوه‌ی تحلیل پایدار بر مبنای سختی مماسی غیر محلی، برای رسیدن به یک مقدار غیر محلی پارامتر β رابطه‌ی ۳۳ پیشنهاد می‌شود:

$$\begin{aligned} \overline{\beta \cdot Y^n} &= \int_v \alpha(x, \xi) \cdot \beta(\xi) [Y(\xi)]^n d\xi = \\ &[Y(x)]^n \int_v \alpha(x, \xi) \cdot \beta(\xi) \cdot d\xi - \\ &\int_v \left(\int_v \alpha(x, \varsigma) \cdot \beta(\varsigma) d\varsigma \right) [Y(\xi)]^{n-1} Y'(\xi) \cdot d\xi \end{aligned} \quad (33)$$

رابطه‌ی ۳۳ به نوعی الهام‌گیری از روش انتگرال‌گیری جزء به جزء است. در طرف دوم این رابطه به مشتق نزخ آزاد شدن انرژی شکست نسبت به مکان بر می‌خوریم. می‌دانیم که این تابع پیوسته است و تغییرات آن نسبت به مکان (نقاط مجاور یک نقطه‌ی مفروض) بسیار نامحسوس است. در بسیاری از حالات نیز مقدار Y در المان ثابت است، از آن جمله در المان CST که اتفاقاً معمول‌ترین المان در تحلیل محیط‌های پیوسته است (در تمامی نقاط المان مثبتی با شش درجه آزادی مقدار کرنش و در نتیجه مقدار نزخ آزاد شدن انرژی شکست ثابت است). بنابراین در چنین المان‌هایی می‌توانیم مشتق Y را برابر صفر بگیریم و

مقدار خطای نیز بیشتر خواهد بود؛ بنابراین لازم است در این گونه روش‌ها بارگذاری به مراحل تا حد امکان ریز تقسیم شود.

برای دست‌یابی به رابطه‌ی تصحیح خطای شیوه‌ی زیر عمل می‌کنیم (شکل ۶):

$$\begin{aligned} \Delta F &= K^t \cdot \Delta U = \sum \beta \cdot B^T \cdot D^e \cdot B \cdot m \cdot \Delta U = \\ \sum \beta \cdot K_e^t \cdot \Delta U, \Delta U &= \delta \Rightarrow \Delta F = \sum \beta \cdot K_e^t \cdot \delta \end{aligned} \quad (26)$$

$$K_{modified}^t = \frac{\partial(\Delta F)}{\partial \delta} = \sum \beta \cdot K_e^t + \sum \frac{\partial \beta}{\partial \delta} \cdot K_e^t \cdot \delta \quad (27)$$

$$\beta = \beta(Y) \Rightarrow \frac{\partial \beta}{\partial \delta} = \frac{\partial \beta}{\partial Y} \cdot \frac{\partial Y}{\partial \delta} \quad (28)$$

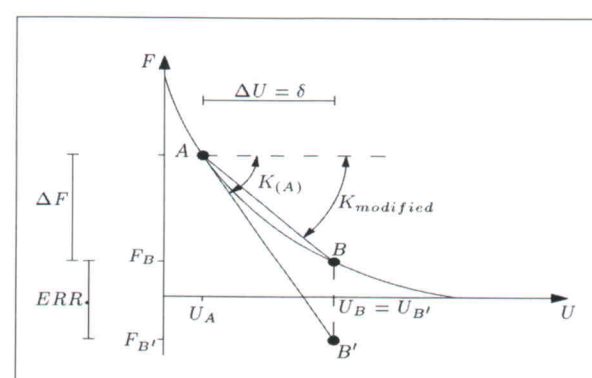
$$Y = \frac{1}{\gamma} \cdot \varepsilon^T \cdot D \cdot \varepsilon = \frac{1}{\gamma} U^T \cdot B^T \cdot D \cdot B \cdot U \quad (29)$$

$$U = U_0 + \delta \Rightarrow \frac{\partial Y}{\partial \delta} = \frac{\partial Y}{\partial U} = K_e^t \cdot U \quad (30)$$

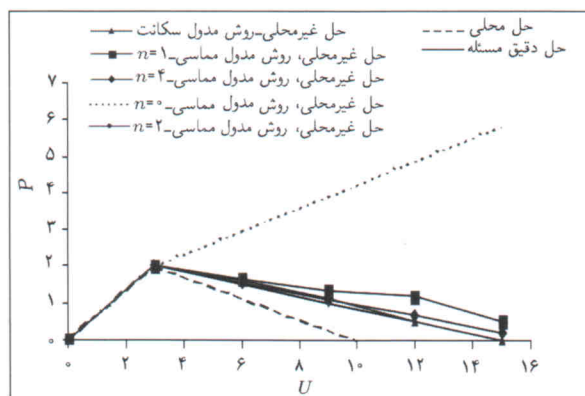
$$K_{modified}^t = \sum \beta \cdot K_e^t + \sum \beta'_Y \cdot K_e^t \cdot U \cdot \delta^T \cdot K_e^t \quad (31)$$

در رابطه‌های بالا K_e^t ماتریس سختی مماسی المان e و Y نزخ آزاد شدن انرژی شکست است. در مسئله مورد نظر این نوشتار، رفتار نرم‌شوندگی ماده به صورت خطی در نظر گرفته شده است و بنابراین β در طول شاخه‌ی نرم‌شونده مقداری ثابت دارد؛ بهمین دلیل چنان‌که از رابطه‌ی ۳۱ مشخص است، اصلاح ماتریس سختی مفهومی ندارد.

مشکل اساسی حل عینی مسئله با استفاده از مدول مماسی، در پلی‌بی بودن این روش است. در حل مسئله با استفاده از مدول سکانت می‌توان ابتدا تمامی مسئله را به طور محلی حل کرد و سپس آن بخش از مسئله را که وارد مکان‌بایی کرنش شده است یکبار دیگر به طور غیر محلی حل کرد. همچنین می‌توان جواب غیر محلی مسئله را فقط برای یک مرحله‌ی خاص از بارگذاری به دست آورد. اما حل با استفاده از مدول مماسی به گونه‌ی دیگری است. در این شیوه به ناچار باید هر



شکل ۶. تصحیح خطای شیوه‌ی مدول مماسی.



شکل ۷. نمودار مقایسه‌ی پاسخ تحلیل‌های مسئله حل شده.

بقیه‌ی اعداد ثبت شده در جدول، مقادیر نیروی نظری یک تغییر مکان و به دست آمده از یک روش تحلیلی تعریف شده در ردیف اول آند. به عنوان مثال، عدد سوم ذیل β_2 (۱/۵۵۷) نشان‌گر مقدار نیروی نظری $P = 6$ در $U = 6$ به دست آمده از تحلیل غیر محلی از مرتبه ۲ است. چنان‌که مشاهده می‌شود، در تحلیل با استفاده از مدول مماسی، با افزایش مرتبه‌ی تحلیل غیر محلی، جواب‌ها به یک پاسخ همگرا می‌شوند؛ همچنین می‌توان دید که تحلیل غیر محلی از مرتبه‌ی صفر تمامًا غلط است و با افزایش مرتبه‌ی تحلیل غیر محلی، پاسخ به دست آمده با حل عینی و دقیق وفاق بیشتری دارد. در این مسئله مشاهده می‌شود که چنانچه مرتبه‌ی تحلیل غیر محلی از چهار بیشتر شود تأثیری در پاسخ به دست آمده نخواهد داشت. برای مقایسه‌ی بهتر، نتایج تحلیل‌های مختلف در شکل ۷ ترسیم شده‌اند.

نتیجه‌گیری

در این نوشتار کوشش شد تا مسئله‌ی عینیت — که اساسی‌ترین آسیب را متوجه تحلیل‌های مسئله‌ی مکانیابی کرنش می‌کند — توضیح داده شود. سپس یکی از شیوه‌های متدالوی، یا شاید متدالوی‌ترین شیوه‌ی عینیت بخشیدن به این پدیده، یعنی به کارگیری میدان‌های غیر محلی در قالب یک مثال عددی مرور شد. پس از آن پیشنهاد نگارندگان این نوشتار برای یافتن راهی برای تحلیل عینی مسئله‌ی مکانیابی کرنش بر بنیاد ماتریس سختی مماسی مطرح شد. همچنین نشان داده شد که تحلیل غیر محلی بر پایه‌ی مدول مماسی به سادگی امکان‌پذیر نیست، و نیز راه حلی برای یک حالت خاص ارائه شد که در آن برای رسیدن به حد قابل قبولی از دقت و همچنین همگرایی باید تحلیل غیر عینی از مرتبه‌ی بالا انجام شود. با این حال، تحلیل مسئله مکانیابی کرنش، آن هم بر پایه‌ی مدول مماسی، دارای پیچیدگی‌ها و موارد حل نشده‌ی بسیاری است که پژوهش‌های دیگر را می‌طلبند.

جدول ۱. نتایج حاصله از تحلیل‌های مختلف.

$\bar{\beta}_2$	$\bar{\beta}_2$	$\bar{\beta}_1$	$\bar{\beta}_0$	$\bar{\omega}$	حل دقیق	P	U
۰	۰	۰	۰	۰	۰	۰	۰
۲	۲	۲	۲	۲	۲	۳	
۱/۵۵۶	۱/۵۵۷	۱/۶۷۳	۲/۹۵	۱/۶۳	۱/۵	۶	
۱/۱۱۱	۱/۱۱۲	۱/۳۷۱	۳/۹	۱/۱۲	۱/۰	۹	
۰/۶۶۷	۰/۶۶۸	۱/۱۶۸	۴/۸۵	۰/۵	۰/۵	۱۲	
۰/۲۲۲	۰/۲۲۴	۰/۵۴۲	۵/۸	۰	۰	۱۵	

لذا خواهیم داشت:

$$\frac{dY}{dx} \cong 0 \Rightarrow \bar{\beta} \cdot Y^n \approx Y^n \cdot \bar{\beta} \Rightarrow \bar{\beta}_n \cong \frac{\bar{\beta} \cdot Y^n}{Y^n} \quad (34)$$

رابطه‌ی ۳۴ رابطه‌ی اصلی ارائه شده در این نوشتار است و راه حلی عملی برای حل عینی مسئله‌ی مکانیابی کرنش از طریق استفاده از مدول مماسی ارائه می‌دهد. در این رابطه $\bar{\beta}_n$ مقدار غیر محلی پارامتر $\bar{\beta}$ براساس توان n ام مقدار نزد آزاد شدن انرژی شکست است و ما در اینجا، تحلیل غیر محلی با استفاده از این پارامتر را «تحلیل غیر محلی از مرتبه‌ی n » می‌نامیم.

حال مثال حل شده‌ی قبلی را یکبار دیگر با روش اخیر تحلیل می‌کنیم. خواننده به راحتی مشاهده خواهد کرد که تحلیل با $\bar{\beta}$ (تحلیل غیر محلی از مرتبه‌ی صفر) به نتیجه‌ی کاملاً نادرست منجر می‌شود. در اینجا یک مرحله از حل مسئله با $\bar{\beta}_1$ (تحلیل غیر محلی از مرتبه یک) را مرور می‌کنیم:

$$\begin{aligned} P^{nl} &= {}^0P^l = 2/0, \Delta U = 3/0, {}^0\varepsilon_1^{nl} = {}^0\varepsilon_2^{nl} = 1/0 \rightarrow \\ {}^0\beta_1^l &= 1/0, {}^0\beta_2^l = -\frac{1}{9} \rightarrow {}^0\delta\varepsilon_1^l = -0/429, \\ {}^0\delta\varepsilon_2^l &= 3/857 \rightarrow \varepsilon_1^* = 0/571, \varepsilon_2^* = 4/857 \rightarrow \\ Y_1^* &= 0/326, Y_2^* = 22/590 \rightarrow ({}^0\beta_1^{nl})_1 = -0/507, \\ ({}^0\beta_1^{nl})_2 &= -0/069 \rightarrow ({}^0E_t^{nl})_1 = -1/014, \\ ({}^0E_t^{nl})_2 &= -0/138 \rightarrow {}^0\delta\varepsilon_1^{nl} = 0/321, {}^0\delta\varepsilon_2^{nl} = \\ 2/358 &\rightarrow 1\Delta P^{nl} = -0/327 \rightarrow {}^1P^{nl} = 1/673 \end{aligned}$$

حال نتیجه‌ی چند تحلیل مختلف را با هم مقایسه می‌کنیم در جدول ۱، $\bar{\beta}_2$ به معنای حل غیر محلی از مرتبه‌ی چهار بار استفاده از مدول مماسی و $\bar{\omega}$ حل غیر محلی مسئله با استفاده از مدول سکانت است. در این جدول، در ستون اول مقادیر تغییر مکان جای گرفته است.

پانوشت

1. strain localization
2. linear softening
3. characteristic length
4. nonlocal fields
5. incremental

منابع

1. Jirasek, M. "Objective modeling of strain localization". *Revue de genie civil*, **6** (6), pp. 1119-1132 (2002).
2. Jirasek, M. and Bazant, Z. P. "Inelastic analysis of structures". John Wiley and Sons, pp. 517-523 (2002).
3. Bazant, Z. P. and Pijaudier-Cabot, G. "Measurement of characteristic length of nonlocal continuum." *J. of Eng. Mech.- ASCE*, **115** (4), pp. 755-767 (1989).
4. Eringen, A. C. "A unified theory of thermomechanical materials". *Int. J. of Engineering Science*, **4**, pp. 179-202 (1966).
5. Eringen, A. C. "Theories of nonlocal plasticity". *Int. J. of engineering science*, **21**, pp. 741-751 (1983).
6. Bazant, Z. P. "Instability, ductility, and size effect in strain-softening solids". *J. of the Engineering Mechanics Division, ASCE*, **102**, pp. 331-344 (1976).
7. Bazant, Z. P. and Jirasek, M. "Nonlocal integral formulations of plasticity and damage: survey of progress." *J. of Engineering Mechanics, ASCE*, **128** (11), pp. 1119-1149 (2002).
8. Mazars, J. "Mechanical damage and fracture of concrete th Int. Conf. Fracture, 4, pp. 1499-1506 structures". 5 (1981).
9. Mazars, J. "A model for a unilateral elastic damageable material and its application to concrete". In fracture toughness and fracture energy of concrete, Elsevier, Amsterdam, pp. 61-71 (1986).
10. Bazant, Z. P. and Pijaudier-Cabot, G. "Nonlocal continuum damage, localization instability and convergence." *J. of Applied Mechanics*, **55**, pp. 287-293 (1988).
11. Jirasek, M. "Computational aspects of nonlocal models". European Conference on Computational Mechanics, ECCM 99, (1999).

